

高效原油降解菌的筛选及其在生物活性炭中的应用^{*}

冯晋阳 吴小宁

(西安工业大学材料与化工学院,陕西 西安 710032)

摘要 以原油为唯一碳源,采用升高原油浓度的方法从长期被石油污染土壤中驯化、筛选出6株高效原油降解菌SY1~SY6。其油降解率均高于55%。经初步鉴定,SY1为微杆菌属(*Microbacterium* sp.),SY2为诺卡氏菌属(*Nocardia* sp.),SY3和SY5为假单胞菌属(*Pseudomonas* sp.),SY4和SY6为芽孢杆菌属(*Bacillus* sp.)。从得到的高效原油降解菌中选用SY2、SY4、SY5和SY6构建原油降解菌群SY,并将SY菌群接种到生物活性炭(BAC)反应器中。BAC反应器运行稳定后,COD去除率达75%以上,油降解率在80%以上,处理效果良好。

关键词 石油污染土壤 原油降解菌 筛选 生物活性炭

Screening of high efficient oil-degrading strains and their application in biological activated carbon FENG Jinyang, WU Xiaoning. (School of Material and Chemical Engineering, Xi'an Technological University, Xi'an Shaanxi 710032)

Abstract: Six oil degrading strains (named SY1 to SY6) were isolated and screened from oil-polluted soil with crude oil as single carbon source. The oil degrading rate of the six strains were all higher than 55%. Six strains were identified base on their physiological characteristics and morphology observation, results showed that SY1 belonged to *Microbacterium* sp., SY2 belonged to *Nocardia* sp., SY3 and SY5 belonged to *Pseudomonas* sp., SY4 and SY6 belonged to *Bacillus* sp.. SY2, SY4, SY5 and SY6 were selected for the construction of oil degradation bacterial community SY. The bacterial community SY was inoculated into the biological activated carbon (BAC) reactor for treatment of oil containing wastewater. BAC reactor presented perfect treatment performance after the stable operation, the removal rate of oil and COD were up go 80% and 75%, respectively.

Keywords: oil-polluted soil; oil degradation bacterium; screening; biological carbon

随着工业的发展,特别是石油化学工业的发展,含油废水的排放量与日俱增,其对环境的污染也日益严重^[1]。含油废水的来源很广,在采油、炼油、贮油、运输过程及石油化学工业的生产过程中都会产生大量含油废水^[2-4]。含油废水进入水体后,影响饮用水资源和地下水资源,危害水产资源。同时还危害人体健康和农作物生产,并引起大气污染,甚至还有可能因为聚结的油品燃烧而产生安全问题^[5,6]。鉴于含油废水的污染性,我国规定含油废水最高允许排放质量浓度为10 mg/L。因此,对石油和石化等行业产生的含油废水进行有效处理是极其必要的。

进入环境的石油可通过自然界的净化作用得到降解,而在石油自然降解过程中,微生物起着重要的作用^[7]。在长期被石油污染的土壤中,存在着大量可降解原油的微生物,它们是土壤和水体生物修复的主角。同时,由于含油废水成分的复杂性,单一方

法不能满足达标处理的要求。而且随着水资源的短缺,对含油废水的排水标准不断提高,以期能达到回用的目的。生物活性炭(BAC)技术具有活性炭吸附和微生物降解双重作用,能有效去除水中有毒有害物质,包括一些其他方法难以去除的物质,是废水回用的一个重要方法。李伟光等^[8]和李安婕等^[9]采用BAC技术处理含油废水,处理效果显著。

本课题组从长期被石油污染的土壤中分离、筛选出高效原油降解菌,并将其应用于BAC工艺中,对含油废水进行处理,取得良好的效果,为含油废水的回用提供参考。

1 材料和方法

1.1 原油降解菌的筛选

1.1.1 菌源及原油

取兰州西固区某炼油厂储油罐附近的土壤2.5 kg,用灭过菌的蒸馏水浸泡并曝气24 h,静止沉淀2 h

第一作者:冯晋阳,女,1973年生,博士研究生,研究方向为水污染控制。

* 陕西省教育厅专项基金资助项目(No. 07JK290)。

后,上清液外观为棕褐色,以上清液作为菌源。

分离、筛选菌种所用的石油碳源为长庆油田的脱水原油,为黑色粘稠液体。以石油醚(沸程60~90℃)为溶剂,将该脱水原油溶解,配制成油质量浓度为100 mg/mL的原油溶液备用。

1.1.2 原油降解菌的驯化和分离

无机盐培养基:NaCl 10 g, NH₄Cl 0.50 g, KH₂PO₄ 0.50 g, K₂HPO₄ 1.0 g, MgSO₄ 0.50 g, CaCl₂ 0.02 g, KCl 0.10 g, FeCl₂ · 4H₂O 0.02 g, 蒸馏水1000 mL,微量元素溶液1 mL, pH=7.2。

驯化筛选培养基:无机盐培养基+原油溶液。

分离培养基:无机盐培养基1000 mL,脱水原油3 g,琼脂18 g。高压蒸汽灭菌后,制成平板备用。

保存培养基:牛肉膏1 g,蛋白胨10 g,NaCl 5 g,原油3 g,琼脂15 g,蒸馏水1000 mL,pH 7.2~7.4。高压蒸汽灭菌后,制成斜面备用。

取无机盐培养基100 mL放入250 mL的三角烧瓶内,高压蒸汽灭菌后,加入菌源10 mL,以转速200 r/min,30℃恒温培养,观察其中的变化以确定菌体的生长情况。取上述培养3 d后混合培养液进行接种驯化。驯化采用原油浓度升高的方法,30℃恒温振荡培养5 d为一个周期,驯化5个周期。最后一个周期的驯化液用于菌种的划线分离。将典型菌落在分离培养基的平板上反复划线纯化后得到单一菌落,再将纯化后的单一菌落接种至保存培养基的斜面上,4℃保存。

1.1.3 原油降解菌的筛选

将菌种配成一定浓度的菌悬液备用。

配制油质量浓度为500 mg/L的含油废水,将分离出的菌种分别接种到盛有50 mL含油废水的200 mL的三角瓶中,在30℃、200 r/min的恒温摇床上进行振荡培养,根据各菌株的生物量(测光密度(OD)值)和其对原油的降解率(测含油量),筛选出生长快、生长量大,且对原油降解率高的活性菌种作为高效菌种。

1.1.4 菌种的鉴定

本研究应用一般分类方法,根据菌株的形态特征和生理生化特征,参照细菌分类手册及文献[10, 11],对筛选到的菌株进行鉴定,初步鉴定到属。

1.2 BAC对含油废水的处理

1.2.1 原油降解菌的接种

将筛选后的菌种进行混合菌降解实验,得出降解效果最好的一组混合菌群,并以此构建原油降解

菌群SY。将原油降解菌群SY接种到BAC反应器中对含油废水进行处理。

1.2.2 实验用水

实验进水采用某化工厂二级处理出水,水质见表1。

表1 进水水质
Table 1 Characteristics of raw water

水质指标	COD /(mg · L ⁻¹)	石油类 /(mg · L ⁻¹)	pH
数值	100~120	10~15	7~9

1.2.3 降解反应体系

为研究原油降解菌在BAC中降解原油的效果,设置平行对照实验,实验设计见表2。

表2 平行对照实验组
Table 2 Parallel control group

实验组	空白组	菌群 SY 组	活性炭组	BAC 组
菌群 SY	无	有	无	有
活性炭	无	无	有	有

在降解实验中,每个反应瓶中加入75 mL人工配制的含油废水,油质量浓度为100 mg/L,根据实验设计加入菌群SY菌悬液(5 mL)和活性炭(20 mL),在温度为30℃,pH 7~8条件下置于摇床中进行降解反应。反应5 d后,测定出水的含油量,以确定原油降解菌的降解效果。降解实验重复3次,以保证实验数据的重现性。

1.2.4 实验装置

实验装置见图1。BAC反应器的生物活性炭柱直径为15 cm,炭层高度57 cm。BAC反应器采用上向流,废水通过底部的布水器进入炭柱。实验用活性炭颗粒平均粒径0.9~1.1 mm。反应器温度控制在30℃,pH为7~8。

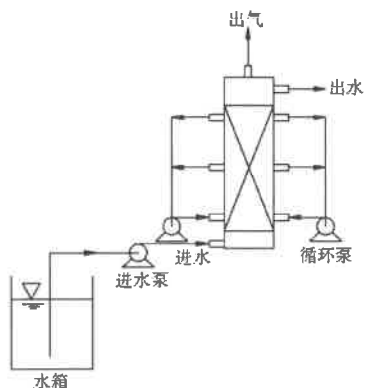


图1 实验装置
Fig. 1 Schematic diagram of experiment apparatus

1.3 分析方法

用751G紫外分光光度计测定实验出水在波长227 nm处的吸光度(A₂₂₇),然后根据标准曲线计算

出含油量(c , mg/L),再计算油降解率(η , %):

$$\eta = (c_0 - c) / c_0 \times 100\% \quad (1)$$

式中: c_0 为初始含油量,mg/L。

采用722光栅分光光度计在波长460 nm处,以不接种的培养液为参比,用光电比浊法测定溶液的OD值来间接表示细菌的生物量^[12]。

COD采用重铬酸钾法测定。

2 结果与讨论

2.1 高效原油降解菌筛选结果

2.1.1 菌种筛选分离结果

经过驯化分离纯化后得到典型菌株13种(编号1#~13#),均具有一定降解原油的能力。将纯化后的13种菌株进行筛选。筛选时将盛有含油废水的三角瓶在摇床(30 °C)上进行振荡培养5 d后,测其OD值和原油的降解率,结果见表3。

表3 各菌株的生物量和其对原油的降解率

Table 3 The growth of strains and their oil degradation capacity

菌株	生物量 (OD值)	降解率 /%	菌株	生物量 (OD值)	降解率 /%
1#	0.059	22.3	8#	0.095	59.9
2#	0.072	33.1	9#	0.099	67.6
3#	0.070	30.9	10#	0.079	38.3
4#	0.120	66.1	11#	0.051	12.5
5#	0.083	55.6	12#	0.128	76.2
6#	0.091	57.1	13#	0.056	19.7
7#	0.065	16.7	空白	0.005	2.8

表4 6株高效原油降解菌的鉴定特征
Table 4 The identifying characteristics of the six oil degradation strains

菌株编号	SY1	SY2	SY3	SY4	SY5	SY6
牛肉膏蛋白胨培养基上的菌落特征	菌落圆形,黄白色,边缘波状,扁平状	菌落圆形,橙红色,边缘裂叶状,扁平状	菌落圆形,黄色,边缘波状,脐状隆起状	菌落不规则,黄色,边缘光滑,隆起状	菌落圆形,黄色,边缘锯齿状,扁平状	菌落圆形,黄色,边缘锯齿状,扁平状
菌体形态	短杆状	长杆状	短杆状	长杆状	长杆状	长杆状
菌体大小/ μm	(0.1~0.2)×(0.4~0.6)	(0.5~0.6)×(2.0~2.5)	(0.2~0.3)×(1.0~1.5)	(0.5~0.6)×(1.0~1.2)	(0.3~0.5)×(1.2~1.5)	(0.5~0.6)×(0.9~1.3)
革兰氏染色	阳性	阳性	阴性	阳性	阴性	阴性
芽孢染色	无	无	无	有	无	有
鞭毛染色	有	有	有	有	有	有
琼脂斜面上的生长特征	刺毛状	丝状	树状	念珠状	刺毛状	扩展状
液体培养基中的生长特征	表层形成薄膜	表层形成薄膜	均匀生长	表层形成薄膜	表层形成薄膜	表层形成薄膜
半固体琼脂穿刺接种	囊形	囊形	层状	芽孢形	囊形	芽孢形
明胶穿刺接种	液化	液化	不液化	液化	不液化	液化
淀粉水解	阳性	阴性	阴性	阴性	阳性	阴性
葡萄糖发酵	阳性	阳性	阳性	阳性	阳性	阳性
需氧性	好氧	好氧	兼性厌氧	好氧	好氧	好氧
菌属名称	微杆菌属 <i>Microbacterium</i> sp.	诺卡氏菌属 <i>Nocardia</i> sp.	假单胞菌属 <i>Pseudomonas</i> sp.	芽孢杆菌属 <i>Bacillus</i> sp.	假单胞菌属 <i>Pseudomonas</i> sp.	芽孢杆菌属 <i>Bacillus</i> sp.

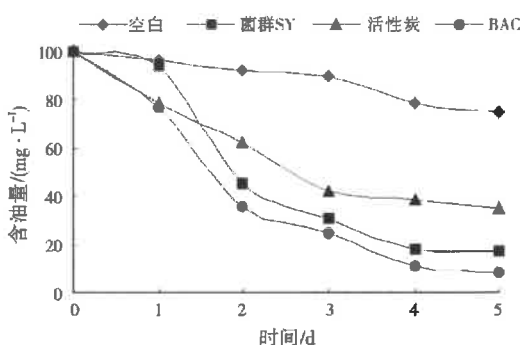


图2 平行对照实验结果

Fig. 2 The results of parallel control group experimental results. Activated carbon has the best adsorption effect, with oil content reduced to 36.0 mg/L. At 3 d, the adsorption amount of activated carbon reaches saturation, and the oil content of activated carbon group changes little; while in the microbial群 SY group and BAC group, the microbial群 SY still plays a role in biological degradation, and the oil content continues to decrease. At the same time, the oil content of BAC is significantly lower than that of microbial群 SY group, which indicates that in BAC, microbial群 SY can utilize the substrate in activated carbon as its carbon source, so that activated carbon can be regenerated and continue to play its adsorption role.

5 d后,油降解率分别为:空白组25.0%,菌群SY组83.1%,活性炭组65.0%,BAC组91.5%。BAC对油的去除效果最好。

2.2.2 石油类污染物的去除

BAC对石油类污染物的去除情况见图3。从图3可看出,BAC对油的去除过程大致分为3段。第一阶段从接种开始,出水含油量先减小,然后增大到第2天的6.5 mg/L。这一阶段,在BAC反应器中没有明显的生物生长,含油曲线类似穿透曲线,也就是这一阶段BAC对油的去除主要为活性炭吸附。生物膜形成初期,原油降解菌逐步形成生物膜,会利用一部分油类物质作为其生长碳源,同时原油降解菌也会被吸附到活性炭上。第二阶段为第2天到第6天,吸附在活性炭上的降解菌和悬浮的降解菌开

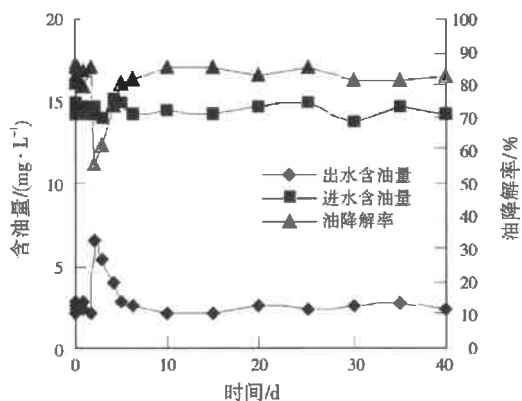


图3 含油量及油降解率随时间的变化
Fig. 3 The variety of oil content and oil removal rate

始大量利用油类物质,进行生物降解,这时含油量快速下降,生物膜快速生长并逐渐成熟,形成稳定的生物膜。之后进入第三阶段(第6天到第40天),出水含油量稳定在2.5 mg/L左右,油降解率达到80%以上。

2.2.3 COD的去除

COD的去除情况如图4所示。由图4可看出,COD变化与含油量变化类似。BAC生物膜形成初期,出水COD在第2天时降至30 mg/L左右,活性炭吸附占主导地位。之后出水COD升高后又回落,于第6天开始稳定,此后维持在25 mg/L左右。这是因为随着生物量增多,生物降解开始占主导地位,出水COD回落。生物膜成熟后,出水COD浓度也趋于稳定,去除率达到75%以上。

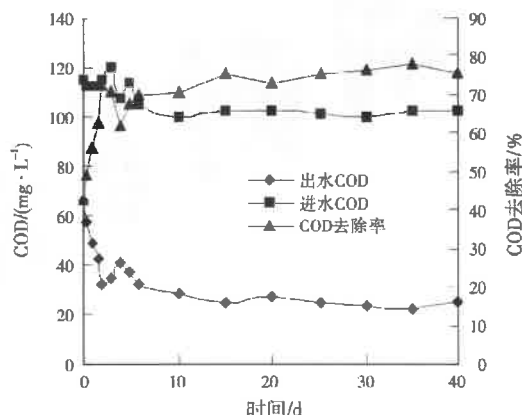


图4 COD及其去除率随时间的变化
Fig. 4 The variety of COD and COD removal rate

2.2.4 生物量的变化

生物量的变化如图5所示。由图5可以看出,将高效菌接种后,菌种在反应器内开始生长,1 d后开始大量繁殖,菌种非常活跃,第5天达到最大值,然后开始下降,随着生物膜的成熟,菌种生物量逐渐

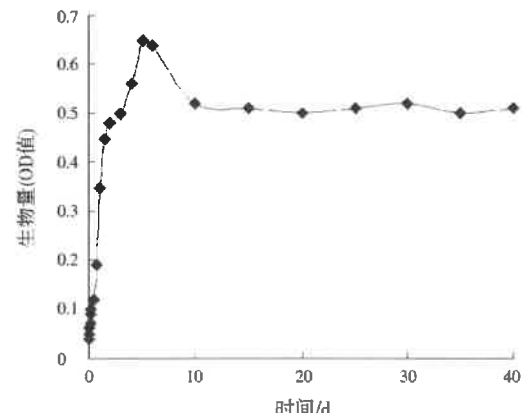


图5 生物量随时间的变化
Fig. 5 The variety of biomass

降低并趋于稳定。悬浮生物量达到最大值后趋于稳定,这时生物膜的生长厚度也会达到其最大值后趋于稳定,出水污染物浓度相对稳定。

在监测悬浮生物量的同时,对生物膜中的生物进行了镜检。在挂膜初期,生物相中主要为游离细菌,随着生物膜的生长,高效菌适应了水质条件,形成了较密实的菌胶团,同时生物膜中出现变形虫等原生动物。随着反应器的稳定运行,生物膜中的原生动物和后生动物活跃,出现草履虫等原生动物和后生动物,标志着生物膜已成熟,同时反应器出水水质趋于稳定,说明BAC反应器运行良好。

3 结 论

(1) 从长期被石油污染的土壤中分离筛选出6株(SY1~SY6)降解原油的高效菌,其油降解率均高于55%。经初步鉴定,SY1为微杆菌属、SY2为诺卡氏菌属、SY3和SY5为假单胞菌属、SY4和SY6为芽孢杆菌属。

(2) 采用BAC工艺对某化工厂二级出水进行处理时,加入原油降解菌群SY。在接种初期,主要是活性炭吸附起主要作用,生物膜成熟后,生物降解和活性炭吸附协同作用去除水中污染物。BAC系统稳定后,油降解率达80%以上,COD去除率达75%以上,处理效果良好。

参考文献:

- [1] 刘国强,沈竞为,高从堦,等.筛选高效原油降解菌处理含油废水研究[J].水处理技术,2008,34(10):26-29.
- [2] AL FUTAISI A,JAMRAH A,YAGHI B,et al. Assessment of alternative management techniques of tank bottom petroleum sludge in Oman[J]. Journal of Hazardous Materials,2007,141(3):557-564.
- [3] MACHÍN RAMÍREZ C,OKOH A I,MORALES D,et al. Slurry-phase biodegradation of weathered oily sludge waste[J]. Chemosphere,2008,70(4):737-744.
- [4] 张翼,于婷,毕永慧,等.含油废水处理方法研究进展[J].化工进展,2008,27(8):1155-1161.
- [5] 沈齐英.含油废水处理概况[J].北京石油化工学院学报,2006,14(3):34-38.
- [6] POULOPOULOS S G,VOUTSAS E C,GRIGOROPOULOU H P,et al. Stripping as a pretreatment process of industrial oily wastewater[J]. Journal of Hazardous Materials,2005,117(2/3):135-139.
- [7] 杨雪莲,李凤梅.高效原油降解菌的筛选及其降解特性[J].农业环境科学学报,2008,27(1):230-233.
- [8] 李伟光,李欣,朱文芳,等.固定化生物活性炭处理含油废水的试验研究[J].哈尔滨商业大学学报,2004,20(2):187-190.
- [9] 李安婕,刘红,王文燕,等.生物活性炭流化床净化采油废水的效能及特性[J].环境科学,2006,27(5):918-923.
- [10] 王春艳,丁永生.石油降解菌的筛选及其降解特性[J].大连海事大学学报,2008,34(3):9-12.
- [11] 中国科学院微生物研究所细菌分类组.一般细菌常用鉴定方法[M].北京:科学出版社,1987.
- [12] 林力,杨惠芳,贾省芬.石油污染土壤的生物整治研究[J].上海环境科学,2000,19(7):325-329.
- [13] 冯晋阳,吴小宁.共基质对优势菌降解原油的作用研究[J].环境科学与技术,2009,32(3):57-61.

编辑:陈泽军 (修改稿收到日期:2010-12-23)

(上接第38页)

敏感性不同,Al³⁺添加量升至0.8 g/kg时,真菌、放线菌有一定的耐受性,细菌数量呈快速下降趋势,而亚硝化细菌几乎不能成活;此后随Al³⁺添加量的进一步升高,放线菌数量呈快速下降趋势,细菌数量则下降趋缓,而真菌相对能耐受较高浓度的Al³⁺。

(2) 在茶园酸性土壤中的微生物的绝大多数种类都面临低pH和Al³⁺的双重毒害。

(3) 提高茶园土壤pH有利于活性Al³⁺向固定态转化,既能缓解低pH的不利影响,也解除了Al³⁺的毒害。改良茶园土壤酸性环境是提高茶园土壤土著微生物数量和活性的较好方法之一。

参考文献:

- [1] 廖万有.我国茶园土壤的酸化及其防治[J].农业环境保护,1998,17(4):178-180.
- [2] 谢国生,师瑞红,庞贞武,等.铝胁迫下水稻幼苗根系的生理特性[J].应用生态学报,2009,20(7):1698-1704.
- [3] 尤江峰,杨振明.铝胁迫下植物根系的有机酸分泌及其解毒机理[J].植物生理与分子生物学学报,2005,31(2):111-118.
- [4] 林郑和,陈荣冰.植物铝毒及其耐铝机制研究进展[J].中国农学通报,2009,25(13):94-98.
- [5] HAMEL R D,APPANNA V D. Modulation of TCA cycle enzymes and aluminum stress in *Pseudomonas fluorescens*[J]. J. Inorg. Biochem.,2001,87(1/2):1-8.
- [6] CHENIER D,BERIAULT R,MAILLOUX R,et al. Involvement of fumarate C and NADH oxidase in metabolic adaptation of *Pseudomonas fluorescens* cells evoked by aluminum and gallium toxicity[J]. Appl. Environ. Microbiol.,2008,74(13):3977-3984.
- [7] PINA R G,CERVANTES C. Microbial interactions with aluminium[J]. BioMetals,1996,9(3).
- [8] 鲍士旦.土壤农化分析[M].3版.北京:中国农业出版社,2005:30-86,106-163.
- [9] 许光辉,郑洪元.土壤微生物分析方法手册[M].北京:中国农业出版社,1986:102-125.
- [10] 罗虹,刘鹏,李丽仙.铝胁迫对大豆根际土壤微生物区系的影响[J].土壤通报,2005,36(5):735-738.
- [11] 阮建云,王国庆,石元值,等.茶园土壤铝动态及茶树铝吸收特性[J].茶叶科学,2003,23(增):16-20.
- [12] 毛佳,徐仁扣,黎星辉.氮形态转化对豆科植物物料改良茶园土壤酸度的影响[J].生态与农村环境学报,2009,25(5):42-45.

编辑:卜岩枫 (修改稿收到日期:2011-03-23)

